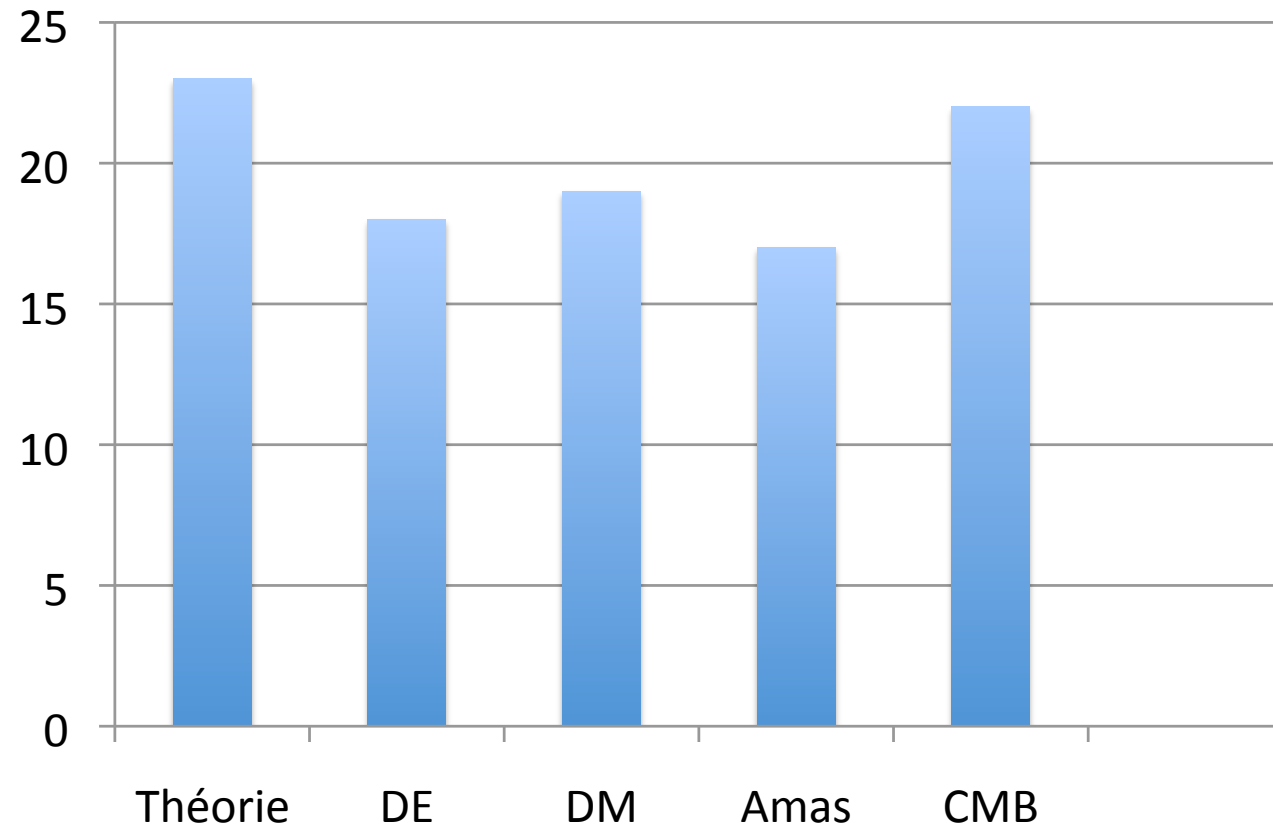


# Moriond Cosmology - Morceaux choisis

Nathalie Palanque-Delabrouille

150 participants

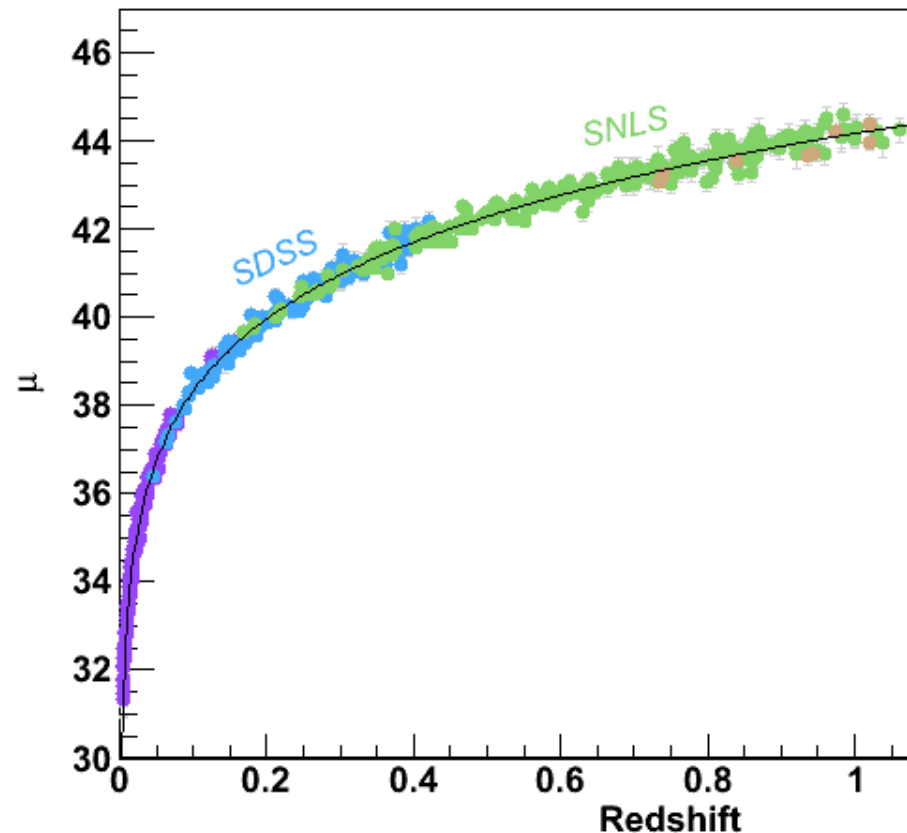


excellents review talks pour chacune des thématiques  
<http://moriond.in2p3.fr/J10/schedule2010.html>

## Energie noire - SN

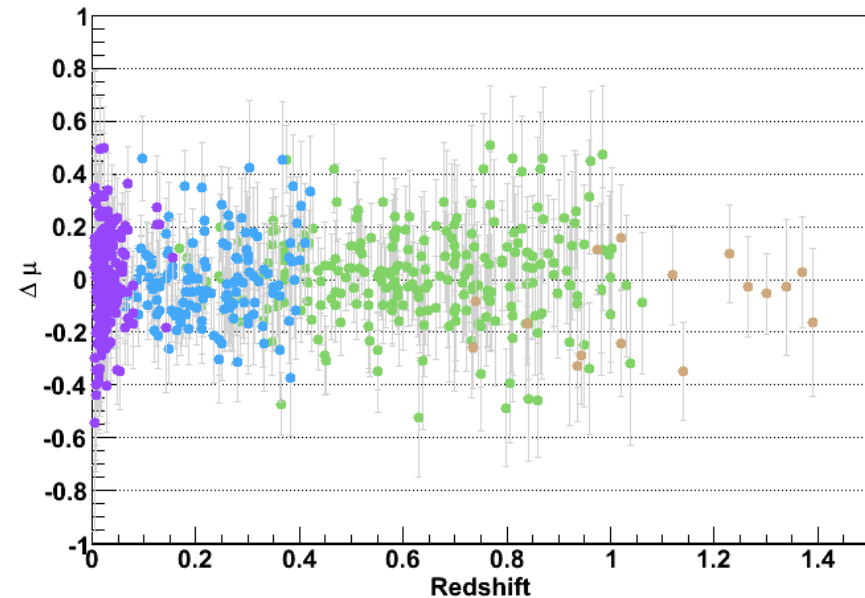
- Echantillons photométriques et spectroscopiques toujours plus importants
- Etudes de corrélations de luminosité des SN avec
  - lentilles gravitationnelles (sur ligne de visée)
  - environnement galactique

SNLS-3 Hubble Diagram



(SNLS, in prep.)

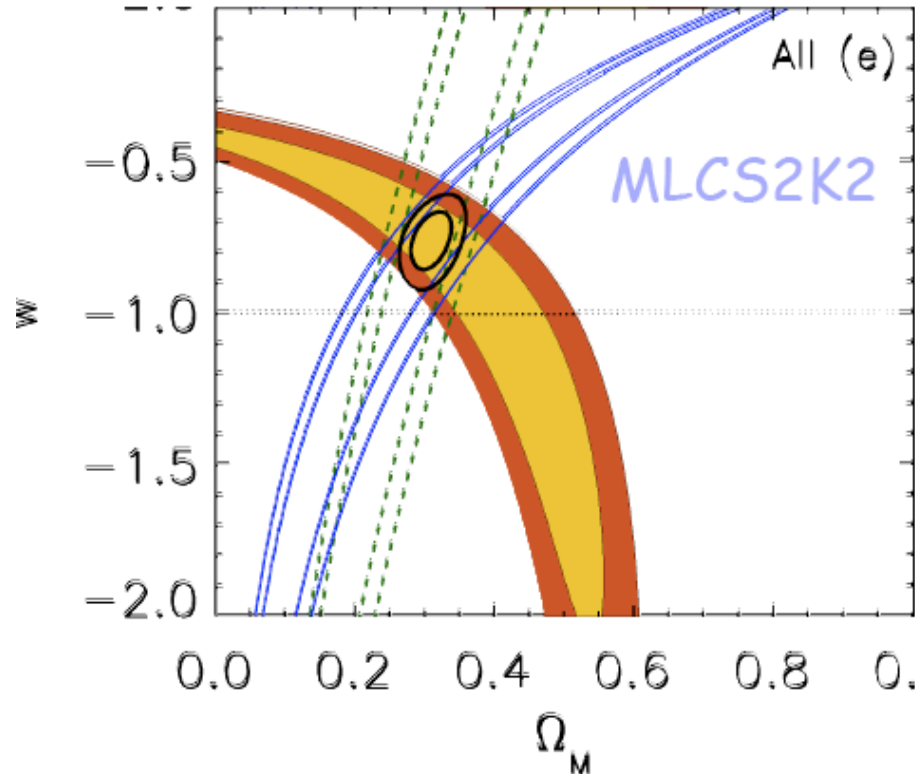
SNLS-3 Hubble diagram residuals



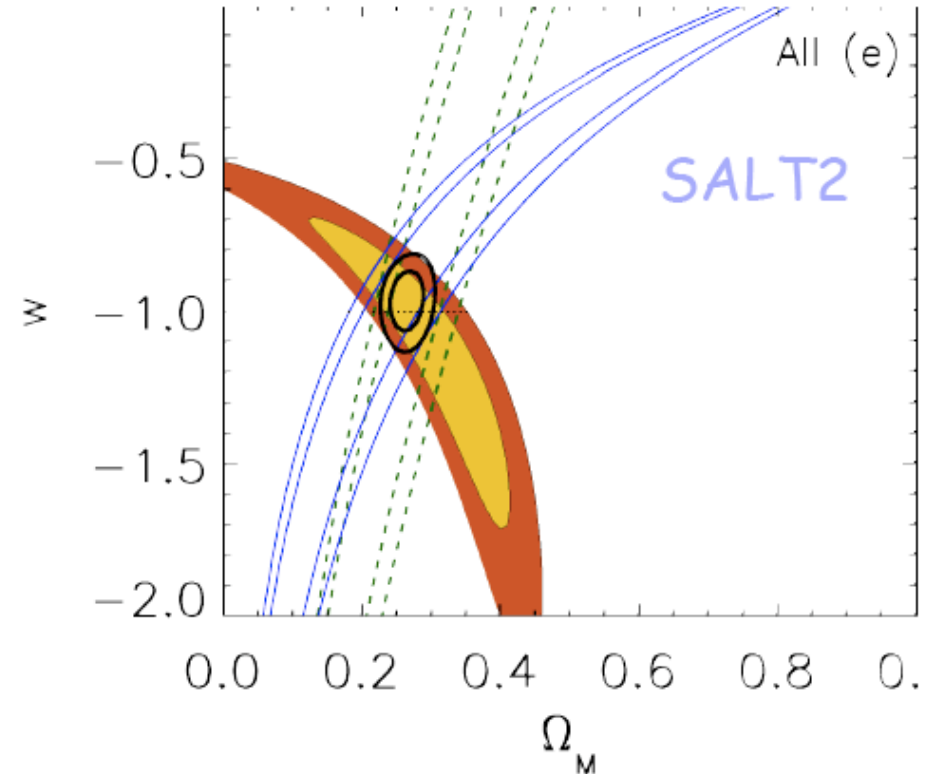
## Energie noire - SN

Pourtant ... pas de SN dans WMAP7

« For example,  $\Omega_\Lambda$  [using MLCS2K2 or SALT2] are different by nearly  $2\sigma$  despite being derived from the same data sets » (Komatsu et al., 2010)



$$w = -0.76 \pm 0.07 \pm 0.11$$



$$w = -0.96 \pm 0.06 \pm 0.12$$

(SDSS: Kessler et al. 2009)

## Energie noire - SN

Origins of the “discrepancy” well identified

(talk Regnault)

### (1) Model restframe UV calibration

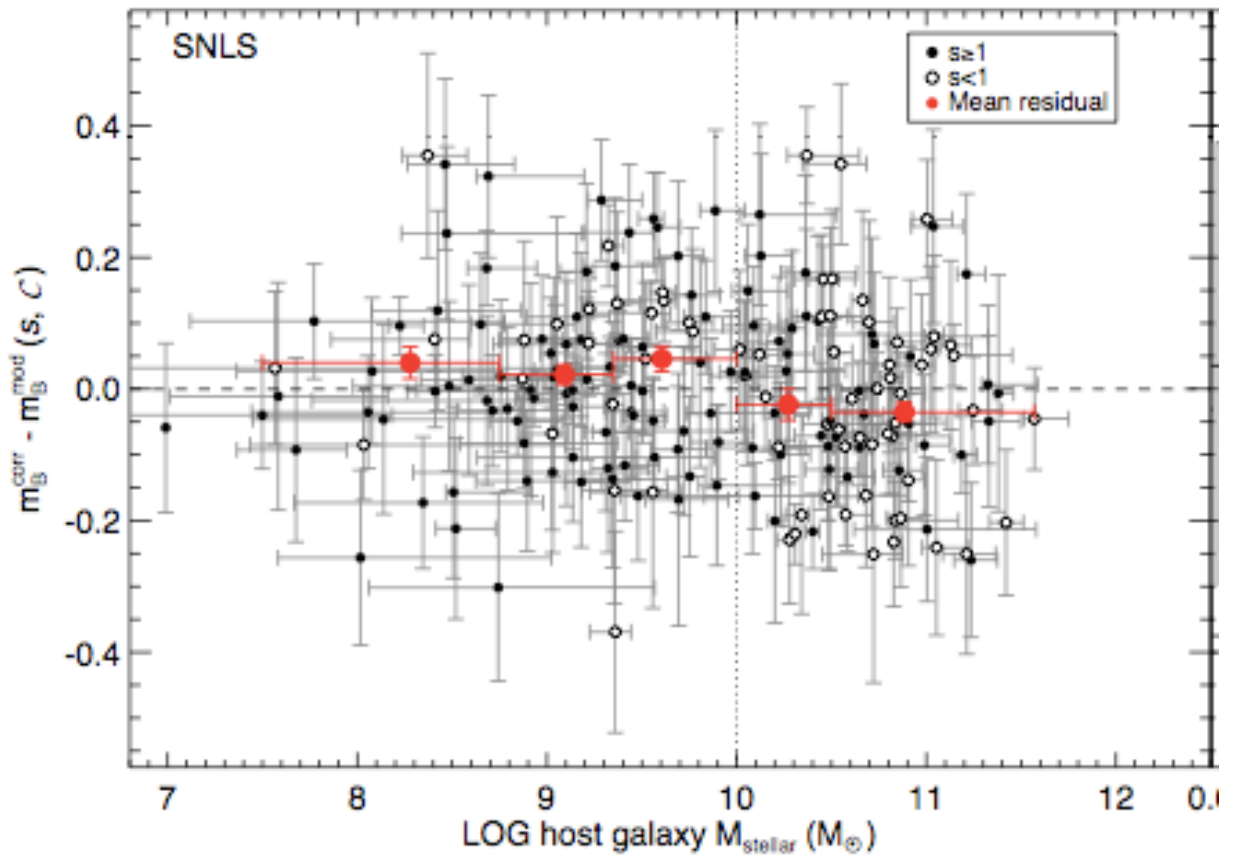
→ disappears with improved photometric calibration

→ future imagers with better near-IR sensitivity (DarkCam) will be less sensitive to the model UV calibration.

### (2) assumptions on the nature of the color variability of the SNe Ia.

→ not a systematic uncertainty.

## Energie noire - SN



SNLS-3: dependence of **standardized** SN luminosity distances with host galaxy stellar mass ( $\sim 4\sigma$  significance)

Accounted for by adding a **host specific term** in the cosmological fit.

(SNLS: Sullivan et al. 2010)

radio - LOFAR et la réionisation

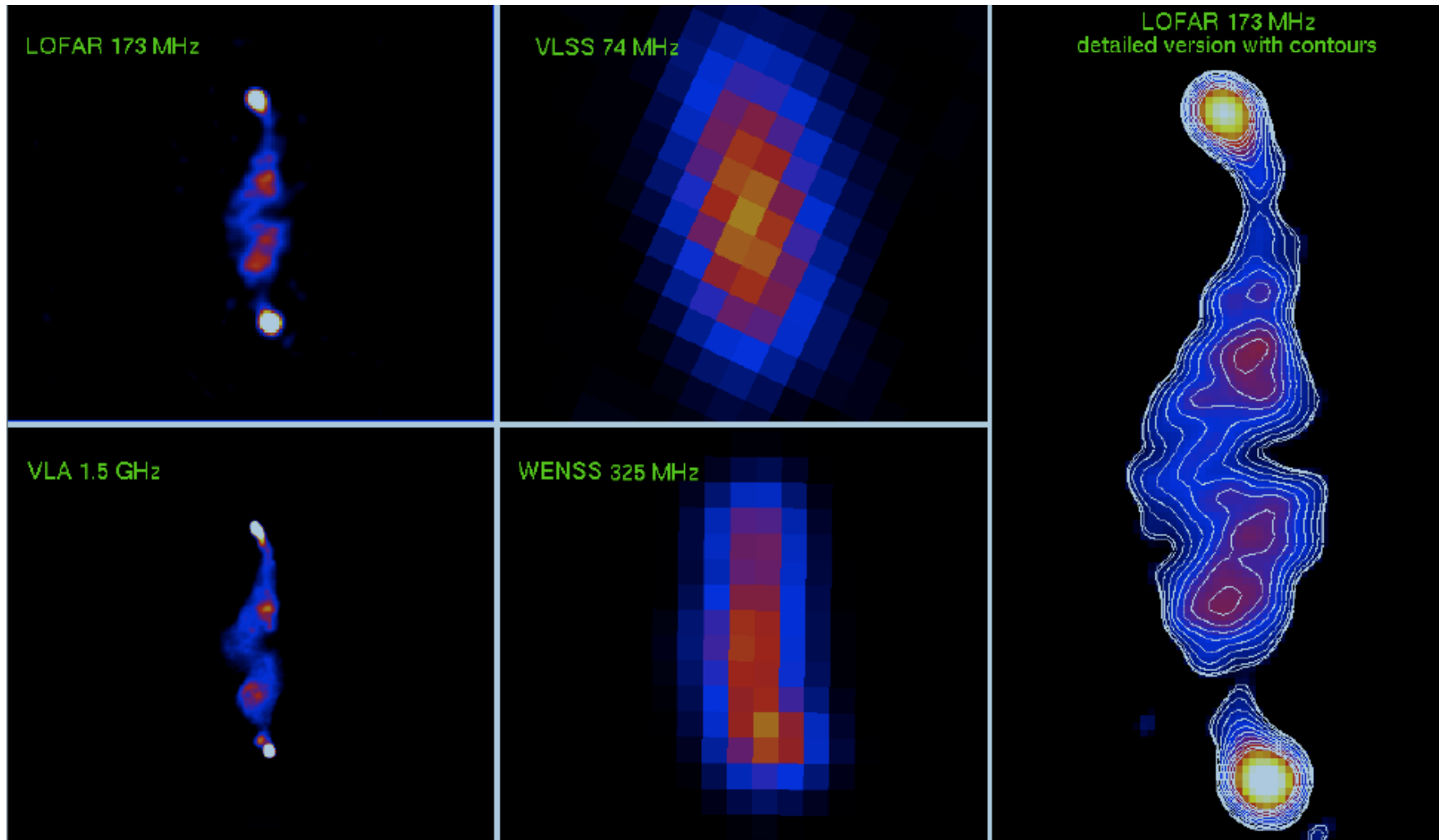
$21\text{cm}(1+z) \rightarrow \sim 160 \text{ MHz}$  pour  $z=8$

Construction : 50% fait

Démarrage: juin 2010

Runs de science: automne/hiver 2010

3C61.1



## Amas de galaxies

(talk Eduardo Rozo)

- $$\frac{dn}{dM} \propto \left( \frac{\Omega_m}{M} \right) \times \exp \left[ - \frac{\alpha(M / \Omega_m)}{\sigma_8^2(z)} \right]$$

- The universe is accelerating. Two possible culprits:
  - dark energy exists
  - GR breaks down at large scales

Once the *geometry* of the universe is measured (e.g. from BAO +SN), *GR+CMB predict the growth of LSS.*

(cf JP Uzan)

**Clusters test gravity** on cosmological scales in a way that is *fundamentally different* from geometrical probes.

## Amas de galaxies

13000 amas en **optique** (SDSS maxBCG cluster catalog), Koester et al 2007  
-> faciles à identifier, **redshift** ok

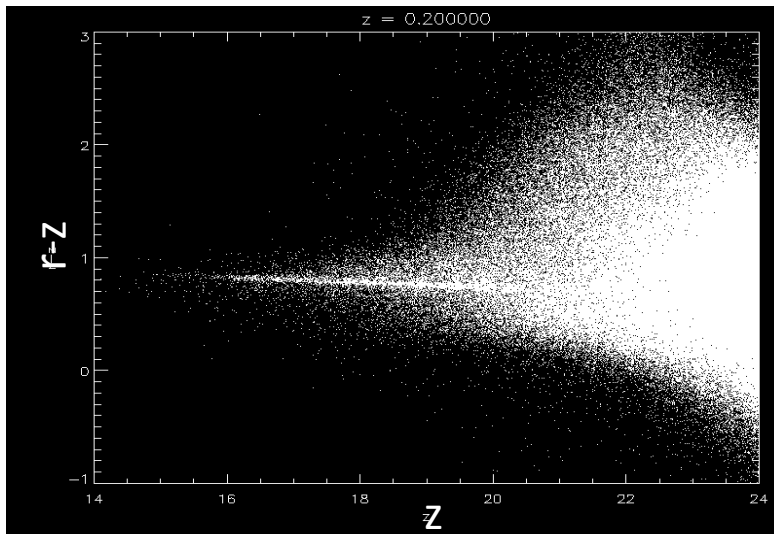


diagramme couleur-magnitude  
des galaxies

redshift photométrique,  $\Delta z = 0.01$   
(dans gamme 0.1 - 0.3)

<2000 amas en **X**

100+ amas en **SZ**

-> estimation de **Masse**



## Amas de galaxies

Modèle des amas affiné avec observations XMM (lois d'échelle  $L_x - M$ )

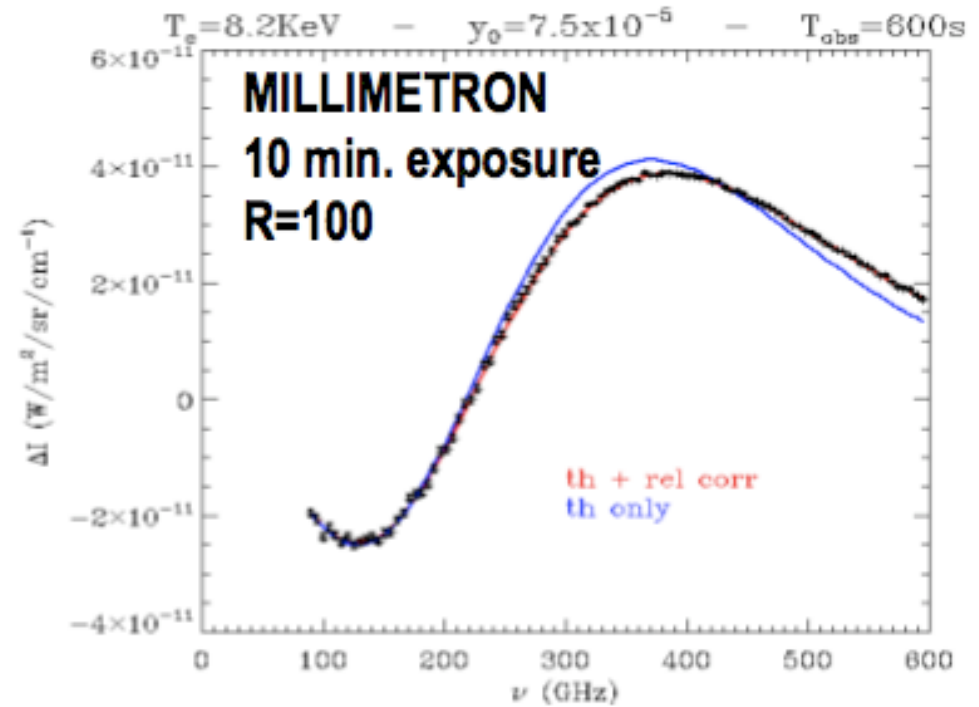
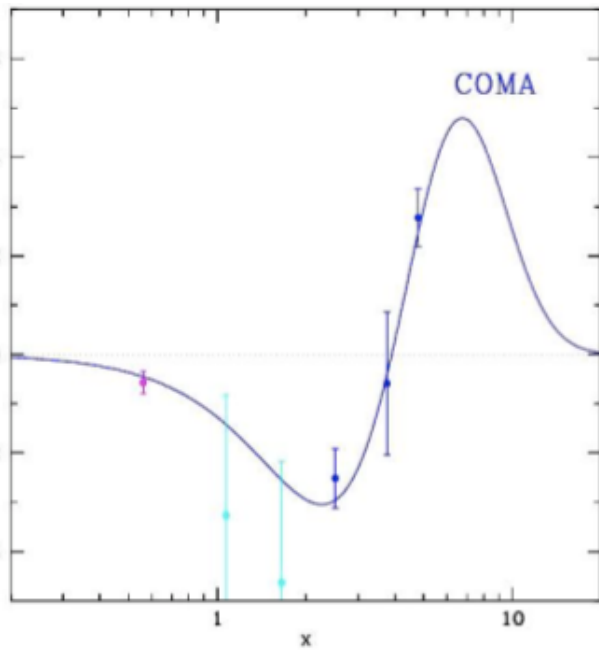
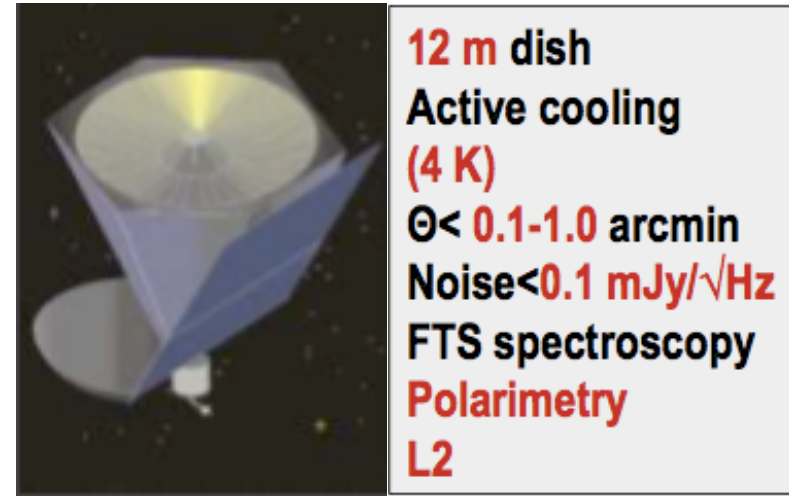
Futur catalogue Planck (>1000 amas SZ)

2010 : vérification de connexion  $Y(\text{flux SZ}) - M$   
sur ~1000 amas ROSAT dans données WMAP

*(Melin et al., 2010)*

## Amas de galaxies

MILLIMETRON? 2016, Italo-Russe, accepté  
(talk Colafrancesco)



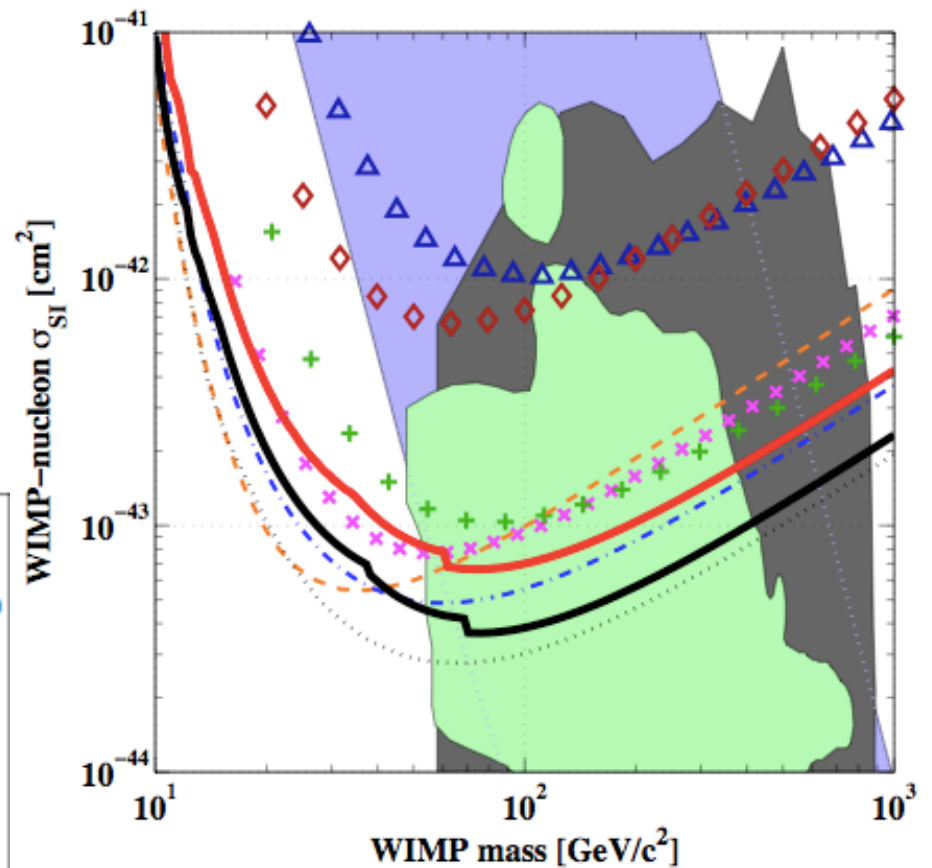
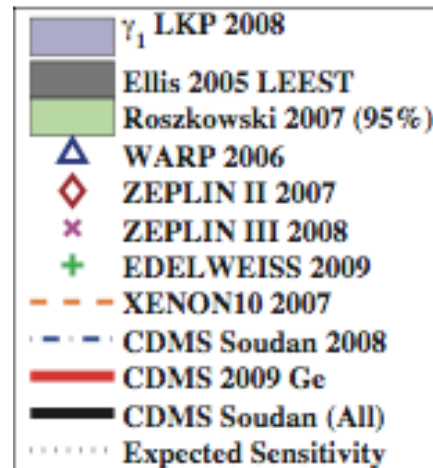
## Matière noire - détection directe

cf. séminaire CDMS 29/03 + apéro Edelweiss 31/03

- SuperCDMS 15kg  
passe aux ID, 2.5cm d'épaisseur (vs. 1cm pour les evts de surface)  
substrats de 5kg (vs. 250g) pour atteindre 100kg

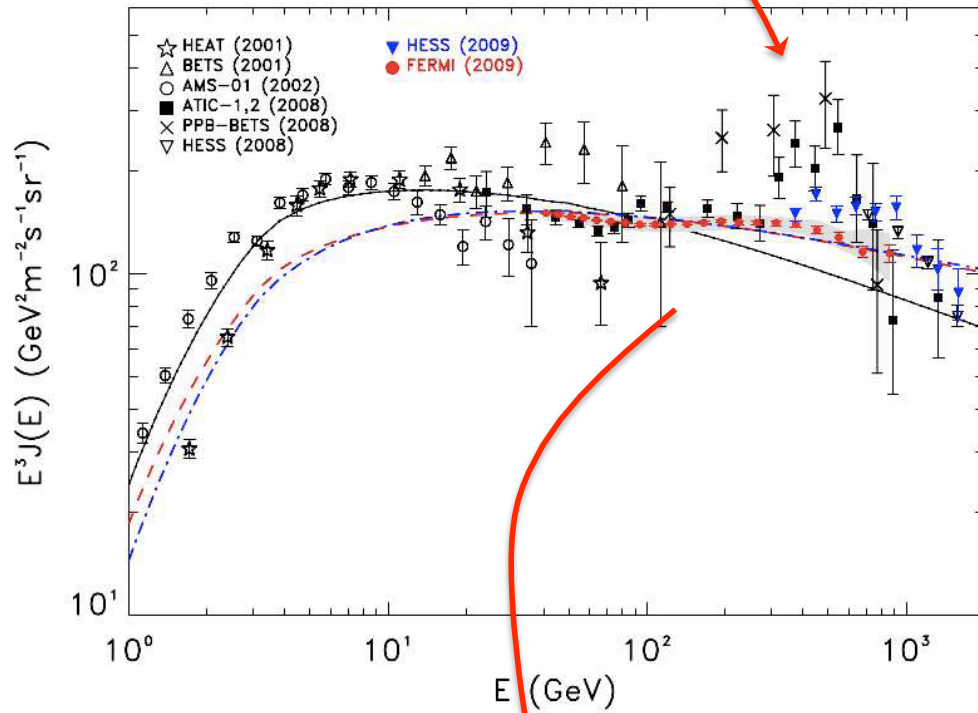
- CDMS :  
2 evts (fond de  $0.8 \pm 0.1 \pm 0.2$ )  
Proba de 20% que ce soit  
des evts de surface

- Edelweiss dans la course



# Matière noire - détection indirecte

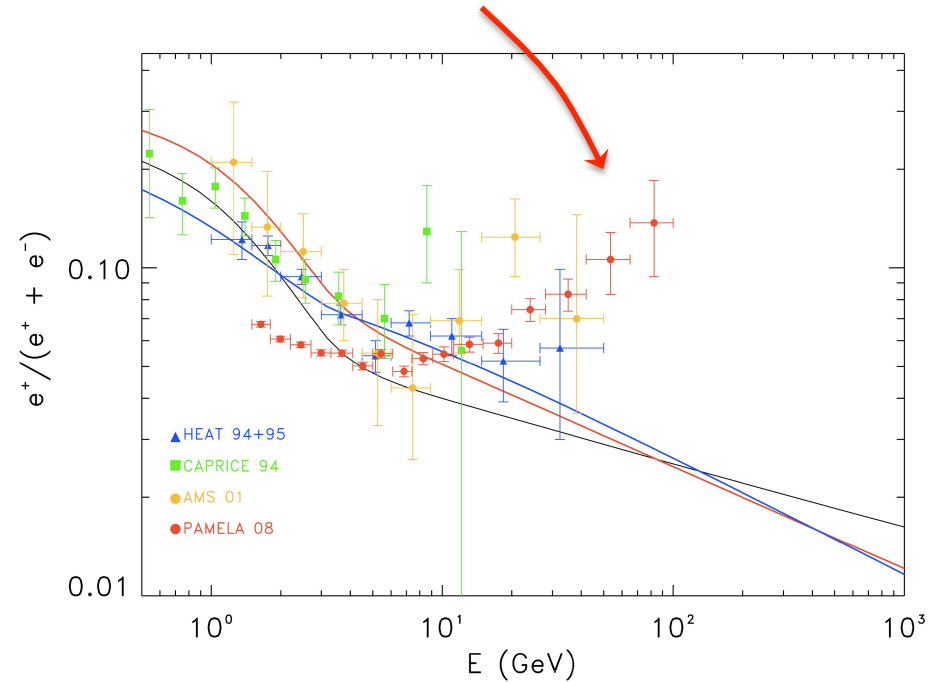
atic : excès de  $(e^+ + e^-)$



Exclu par Fermi et HESS

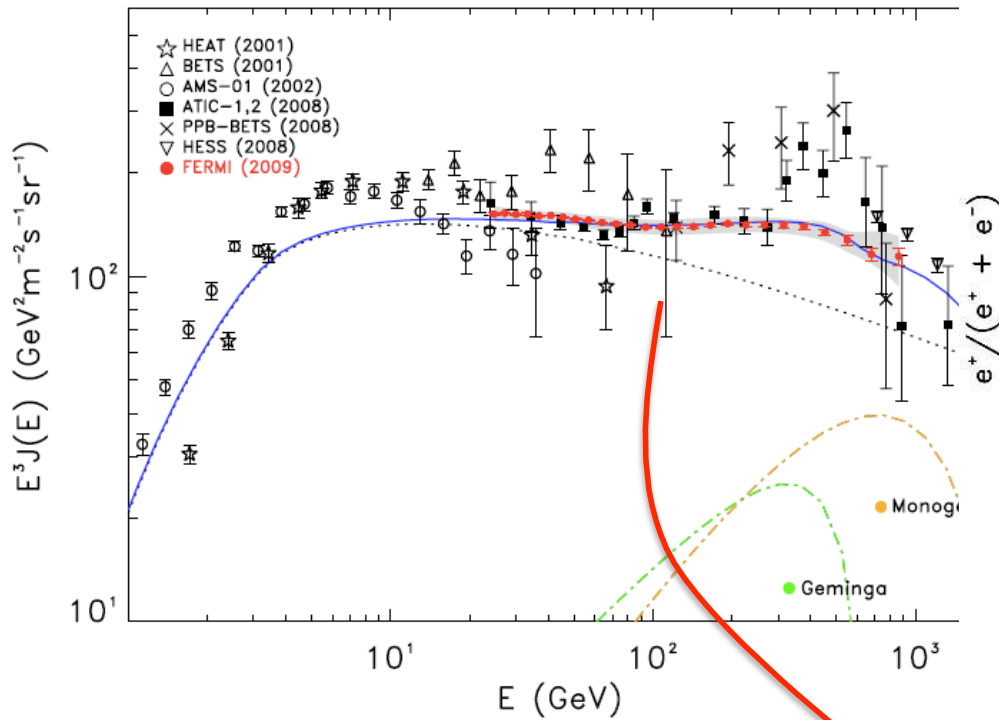
*(Publication Fermi, 2009)*

pamela : excès de  $(e^+)$

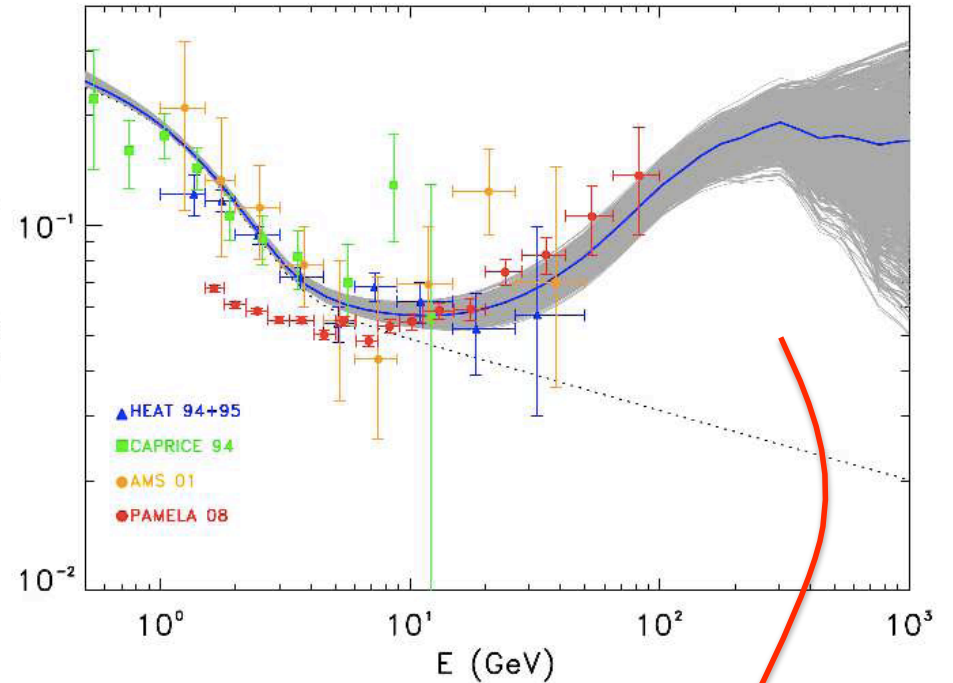


# Matière noire - détection indirecte

atic : excès de ( $e^+ + e^-$ )



pamela : excès de ( $e^+$ )



Explication avec pulsars proches

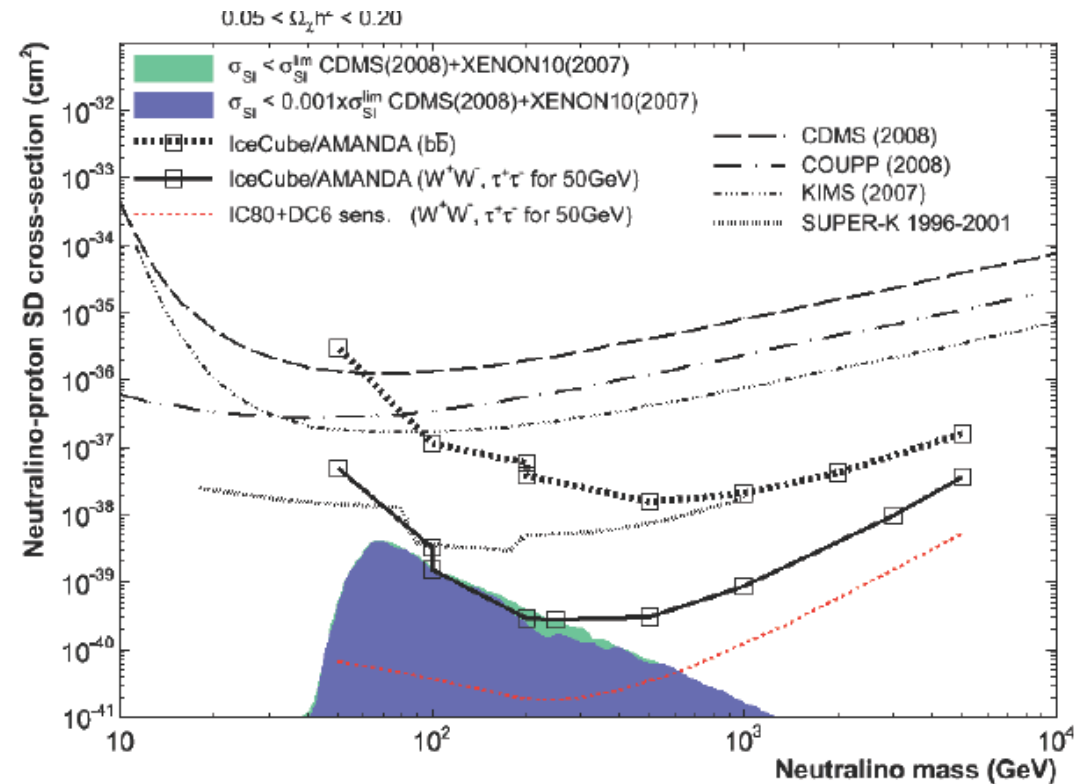
courbe bleue = 1 modèle unique, avec pulsars connus,  
pour Fermi + HESS + Pamela

## Neutrinos de hautes énergies Ice Cube

79 lignes déployées (sur 80 + 6)  
 Complet en 2011  
 6 lignes de cœur dense pour  $E_{th} = 10 \text{ GeV}$  (DM)

Analyses sur 22 lignes :

aucun excès en provenance  
 du Soleil



# Neutrinos de hautes énergies ANITA

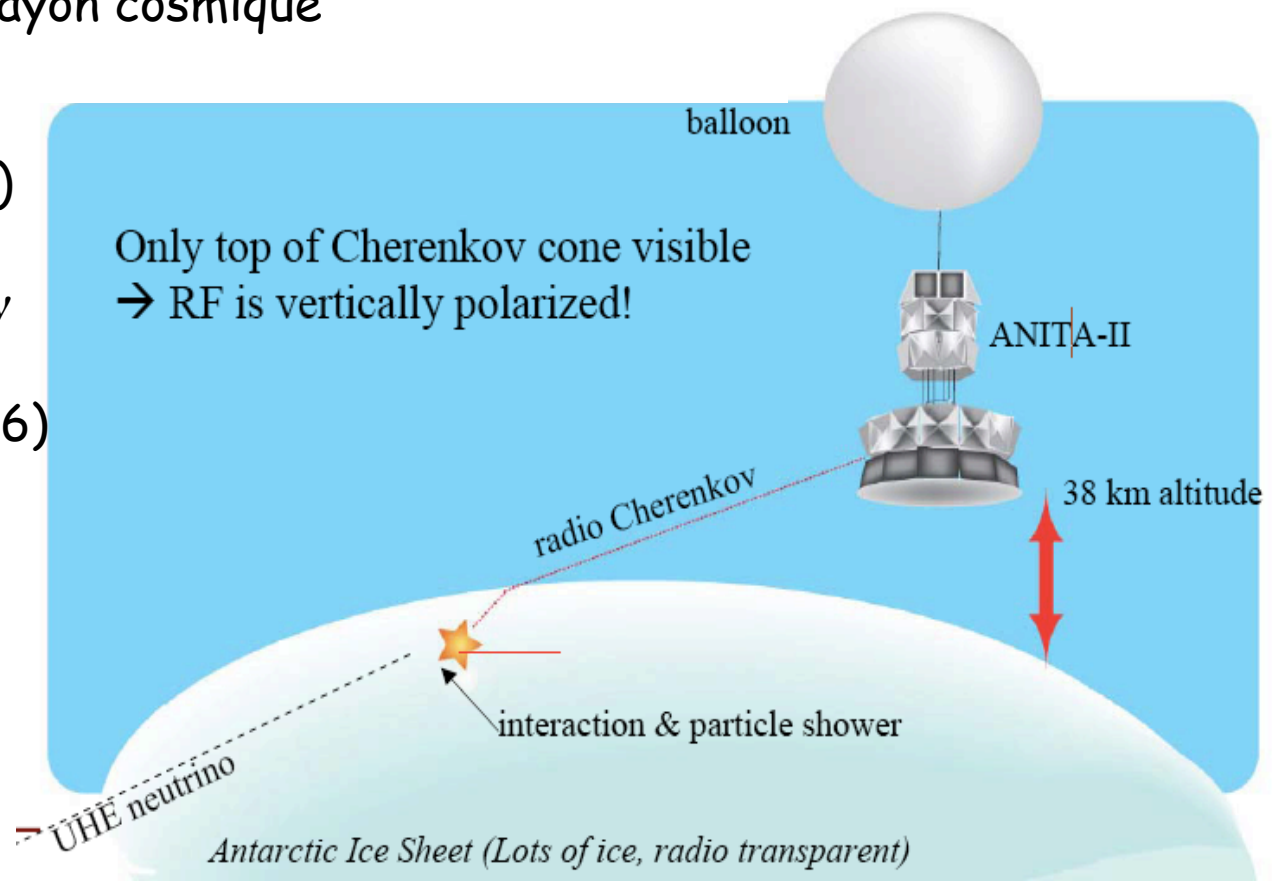
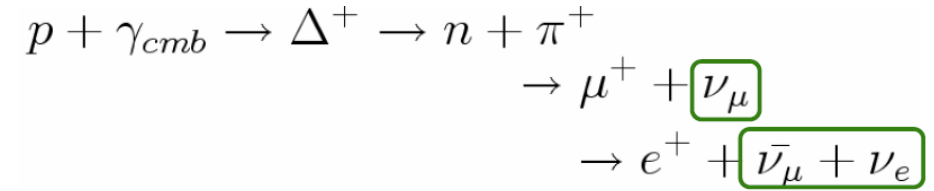
neutrinos GZK ( $10^{18} - 10^{20}$  eV)  
vols de 30 jours

Polarisation verticale =  $\nu$   
Polarisation horizontale = rayon cosmique

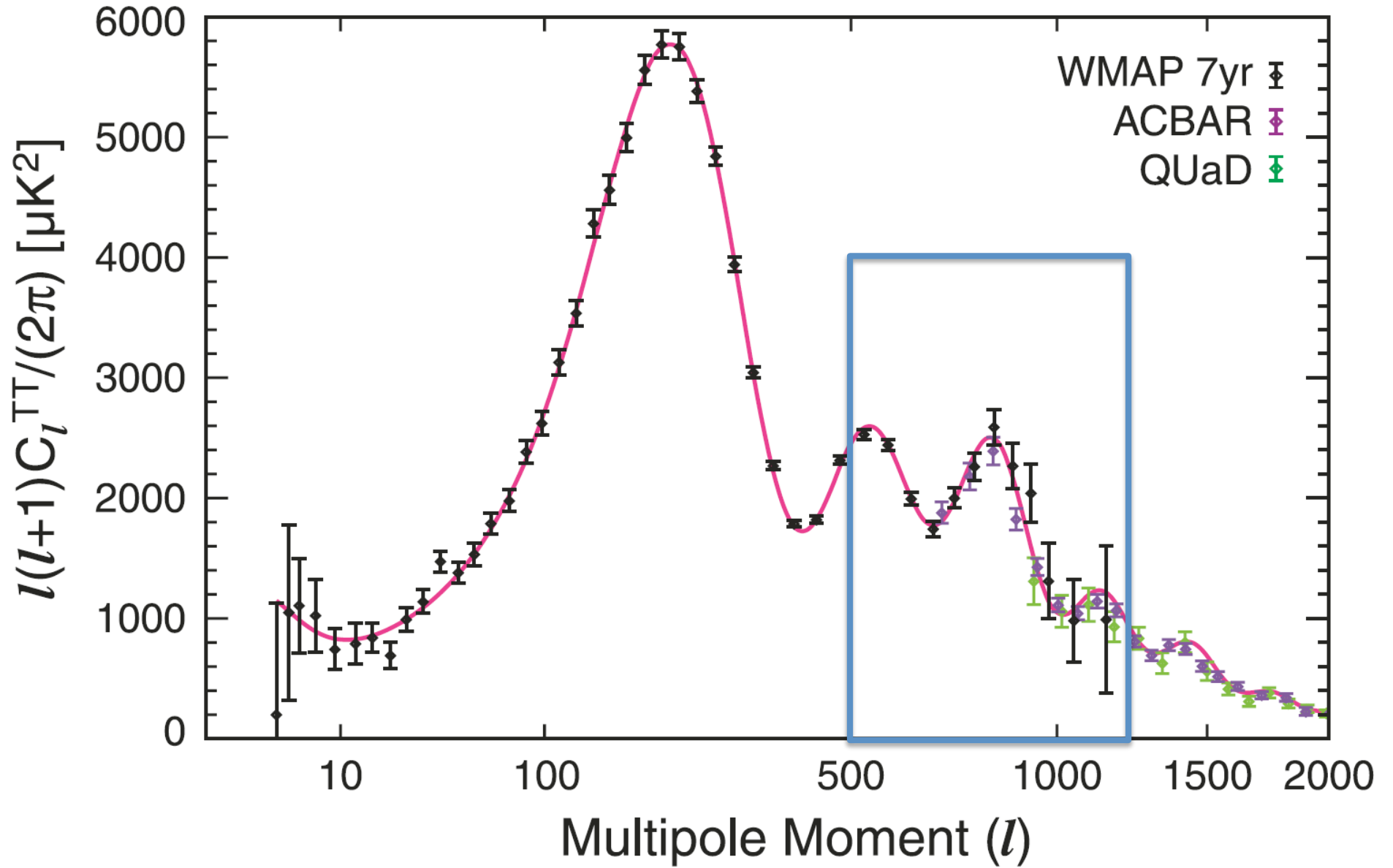
ANITA I : 1  $\nu$  (fond = 1)  
16 CR (fond = 2)

ANITA II : optimisé pour  $\nu$   
2  $\nu$  (fond = 1)  
3 CR (fond = 0.6)

ANITA III à venir

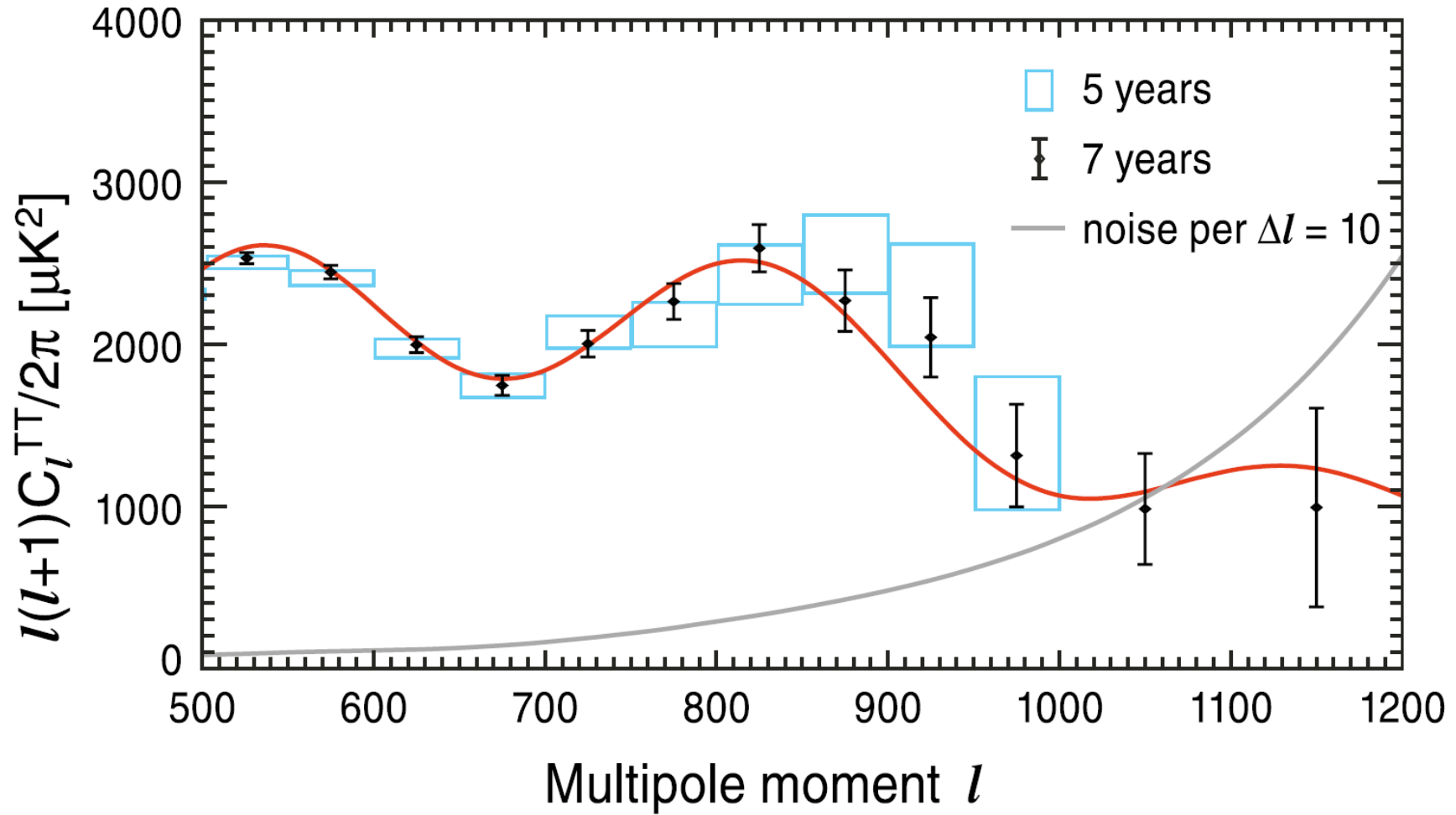


CMB - WMAP 7 yrs

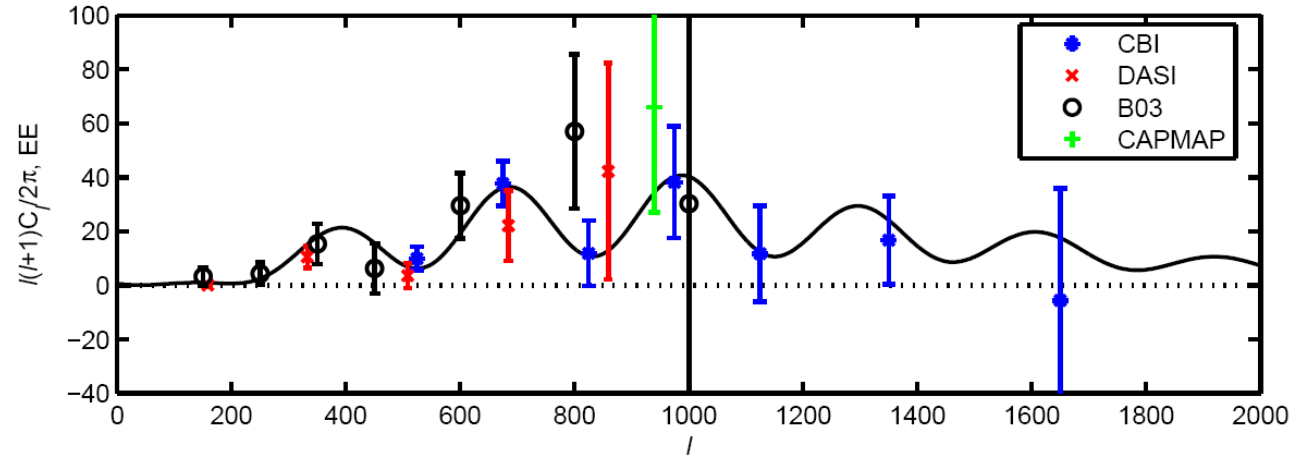




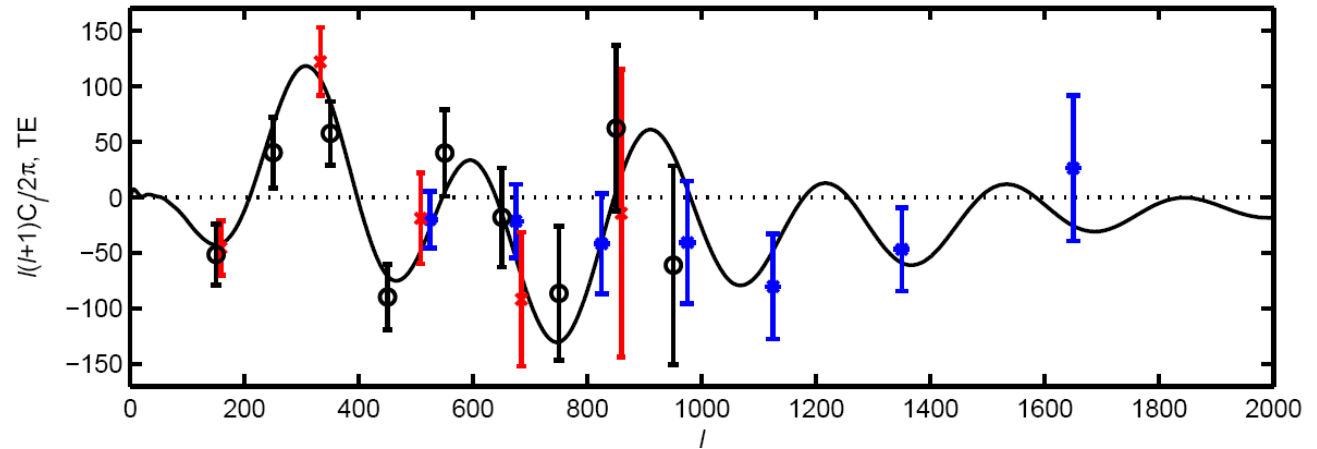
CMB - WMAP 7 ans



# CMB - Polarisation



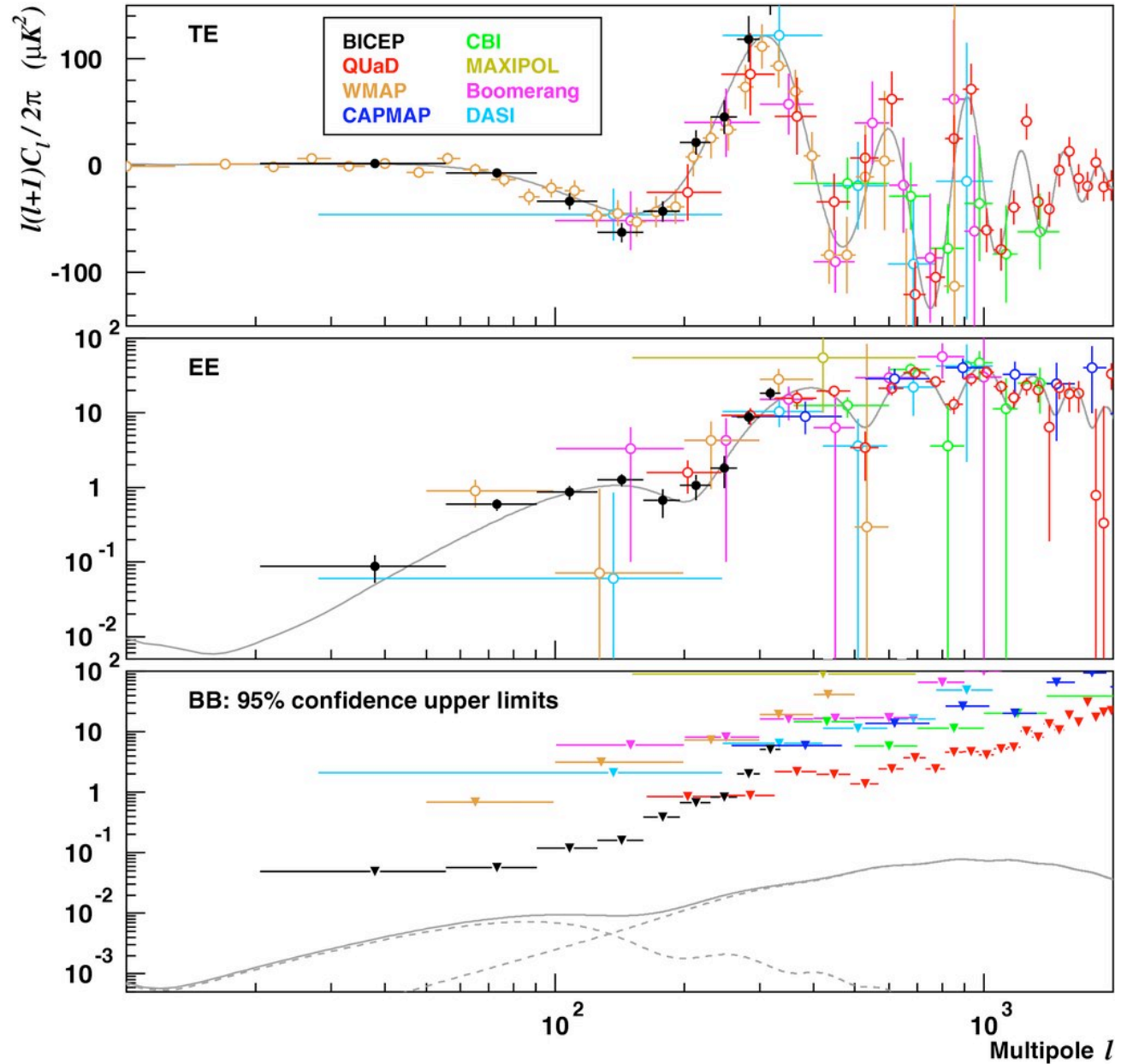
2005 :  
détection statistique  
(DASI, CBI, WMAP)



# CMB - Polarisation

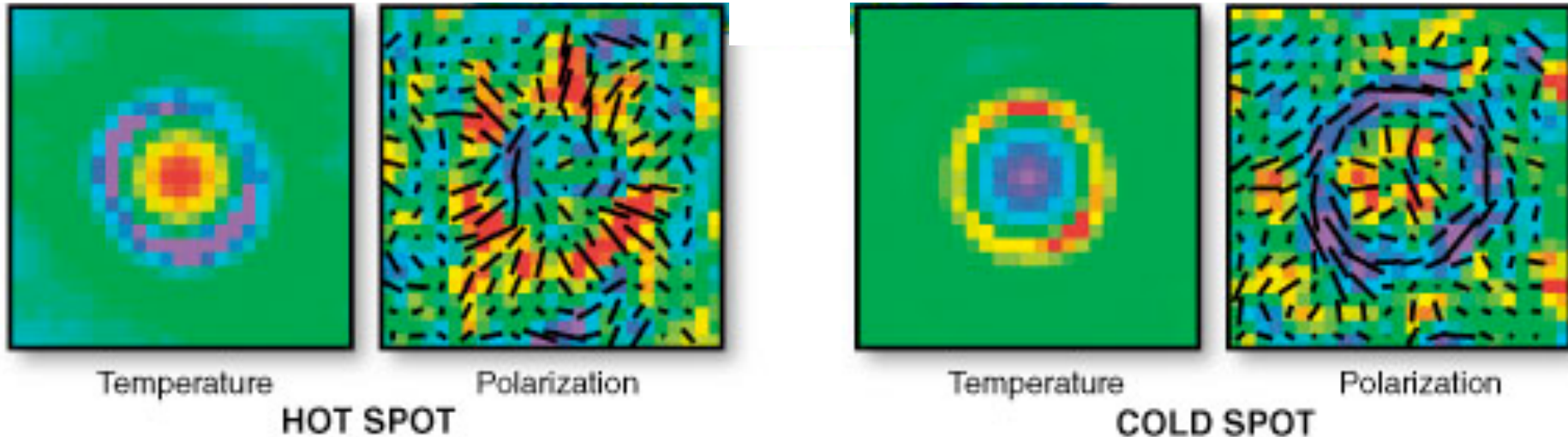
Chiang et al, ApJ, mars 2010

2010 :  
mesures (BICEP, QUAD)



CMB  
Polarisation

WMAP 7 ans,  
après empilement



The imprint of sound waves is visible in the co-added degree-scale hot (left) & cold (right) spots. The expected radial/tangential polarization pattern around these extrema is now clearly seen in the 7-year WMAP data.

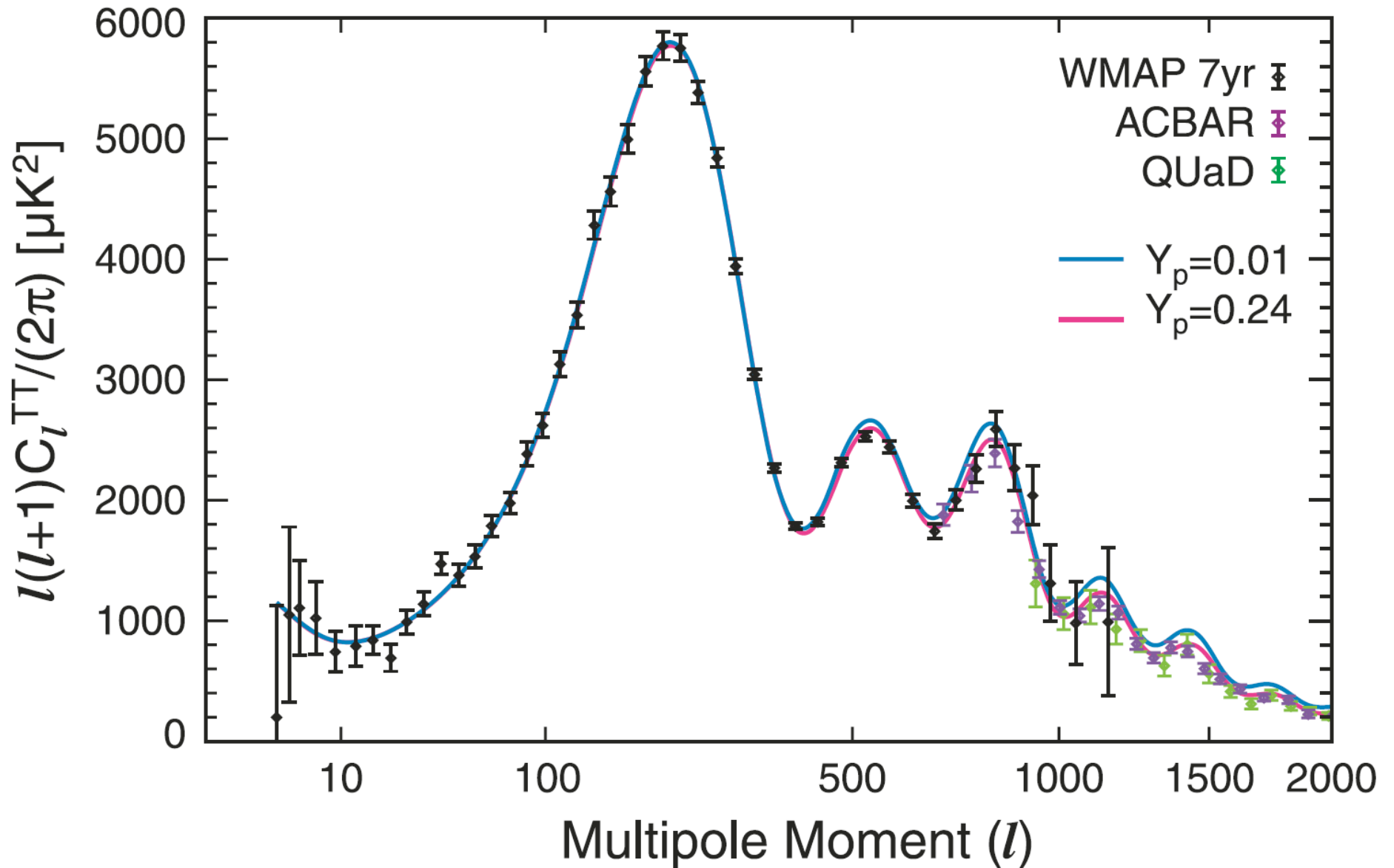
This pattern is also imprinted on the baryon gas (baryon acoustic oscillations or BAO) that evolves to form large scale structure.

## CMB - WMAP 7 ans

- Direct visualization of the predicted oscillation and **polarization** pattern around hot/cold spots.
- ~50% reduction in allowable volume of 6-d  $\Lambda$ CDM parameter space.
- 1<sup>st</sup> detection ( $>3\sigma$ ) of the effect of **pre-stellar helium** on the temperature power spectrum (w/  $\Lambda$ cbar+QUaD)
- Improved limits on **neutrino** parameters:  
 $\Sigma m_\nu < 0.58\text{eV}$  (95% CL)       $N_{\text{eff}} = 4.3 \pm 0.9$  (68% CL)
- The primordial spectral **tilt** is less than one at  $>3\sigma$ :  
 $n_s = 0.96 \pm 0.01$  (68% CL).

# Detection of Pre-Stellar Helium - I

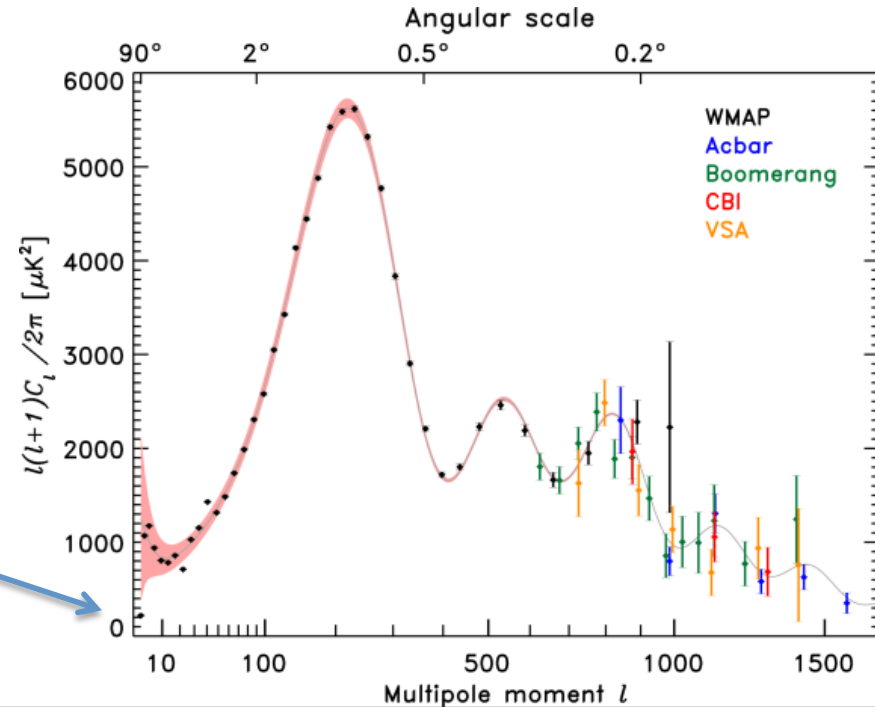
CMB



## CMB : anomalies dans WMAP

. **large-scale power deficit**  
Pas d'explication (avant-plans, nouvelle physique ne fond qu'aggraver)

-> Fluctuation stat.



. **Asymétrie Nord-Sud**  
Pas un effet « a posteriori »  
car indépendant de  $l$

Axe = écliptique  
-> effet local?

